

Nový standard inovací

InBody970



Nový standard inovací

Společnost InBody neustále vyvíjí způsob, kterým se měří složení těla a rozšiřuje jeho uplatnění do různých oblastí.

Posláním společnosti je poskytovat maximálně spolehlivou a inovativní analýzu složení těla, Společnost inBody nyní představuje novou generaci analyzátoru složení těla, InBody970.

Analyzátor InBody970 je vybaven nejmodernější technologií o frekvenci 3 MHz a novým ergonomickým provedením, které lépe než kdykoliv dříve, a je vhodný pro různé pacienty s různými stavy a zdravotními specializacemi.





Inovativní design

Přesná technologie měření o frekvenci 3 MHz společnosti InBody

7 různých přehledů výsledků pro hloubkovou analýzu

Inteligentní měření InBody

InBody970

Nejdůležitější informace o analyzátoru InBody970

Inovativní design

Analyzátor InBody970 přináší nový úhledný vzhled s řadou detailů. Konkávní provedení hlavy chrání soukromí subjektu během měření a současně zvyšuje viditelnost pro uživatele. Nerezové elektrody a vylepšená podložka pro nohy zlepšují vodivost a umožňují měření osob do hmotnosti až d300 kg.

Přesná technologie měření o frekvenci 3 MHz společnosti InBody

Se zvyšující se frekvencí se v lidském těle se kontrola v lidském těle stává stále obtížnější, což může vést k nepravidelným měřením impedance. Technologie InBody toto omezení překonává a dosahuje účinnosti kontroly při frekvenci 3 MHz. Frekvence 3 MHz je schopna účinněji pronikat membránami lidských buněk, a proto ve srovnání s nižšími frekvencemi lépe odráží vnitrobuněčnou vodu. To nám pak umožňuje rozlišovat mezi intracelulární a extracelulární vodou, což vede k přesnějšímu měření celkové vody v těle.

7 různých přehledů výsledků pro hloubkovou analýzu

- K vyhodnocení a porovnávání složení těla lze používat přehled výsledků vyhodnocení.
- Přehled výsledků výzkumu obsahuje často používané parametry a poskytuje grafy rozdělené na úseky, které nabízejí komplexnější analýzu.
- Přehled výsledků porovnání obsahuje graf Cole-Coleův graf společně s dalšími významnými parametry pro porovnání předchozích a aktuálních výsledků.
- Přehled výsledků vnitřního tuku lze používat ke sledování změn podkožního a vnitřního tuku.
- * Přehled výsledků složení těla, přehled výsledků složení těla pro děti, voda v těle
Přehledy výsledků jsou také k dispozici.

Inteligentní měření InBody

Proces rozpoznávání totožnosti lze provádět snadno a rychle pomocí snímacího zařízení InBody BAND, otisků prstů nebo čárkového kódu.



Technologie InBody



Hodnocení složení těla podle věku na základě rozsáhlých dat InBody

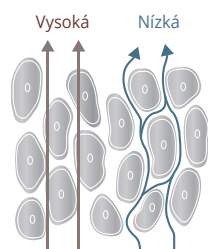
Systém InBody poskytuje pro každý parametr analýzy složení těla grafy specifické pro daný věk na základě globálně nashromážděných dat InBody. Díky tomu je k dispozici komplexní analýza, která vám umožní porovnávat vaše data s daty mladší věkové skupiny (hodnocení T) a stejné věkové skupiny (hodnocení Z).

Multifrekvenční provedení pro hloubkovou analýzu

Nízké frekvence neprocházejí dobře buněčnými membránami, takže odrážejí hlavně ECW, zatímco vysoké frekvence buněčnými membránami procházejí, a odrážejí proto jak ECW, tak ICW.

Systém InBody měří pomocí více frekvencí ECW a ICW samostatně a měří přesně TBW pro kontrolu bilance vody. Jako nejnovější technologickou novinku systém InBody využívá frekvenci 3 MHz, která umožňuje přesné měření rozmanitějšího spektra pacientů a subjektů se speciálním složením těla. Technologie, která umožnila využívání frekvence 3 MHz, navíc zajišťuje stabilitu měření i na jiných frekvencích, a to i v případě vnějšího rušení.

* ECW: Extracelulární voda, ICW: Intracelulární voda, TBW: Celková tělesná voda

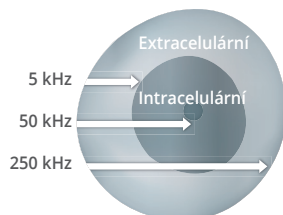


Vysoká reprodukovatelnost zajišťovaná 8bodovými kontaktními elektrodami

V systému InBody je umístěno celkem osm elektrod - jedna proudová a jedna napěťová elektroda na každé rukojeti a podkladní desce. Díky této konstrukci elektrody je vždy zachován výchozí bod měření. I když se postavení při měření mění nebo se provádí více měření, je systém schopen udržovat si vysokou reprodukovatelnost.

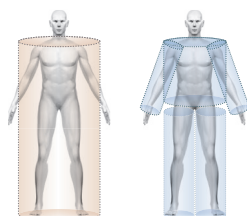
Data reaktance při více frekvencích pro lepší klinické využití

Reaktance je odpor, který se vyskytuje v buněčných membránách, a který souvisí se zdravím buněk, jako je hmotnost somatické buňky, strukturální integrita a úroveň fyziologických funkcí buňky. Kromě frekvence 50 kHz systém InBody vylepšuje technologii měření segmentové reaktance také při frekvencích 5 kHz a 250 kHz. Systém InBody tímto způsobem poskytuje více parametrů, které lze využívat v různých klinických oborech pro předběžný screening chorob a hodnocení stavu výživy.



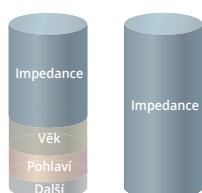
Přímé segmentové měření-BIA

Každý ze segmentů našeho těla má jinou délku a plochu průřezu. Ruce a nohy jsou srovnání s trupem delší a užší, takže jejich hodnoty impedance jsou vyšší než u trupu. Na druhou stranu, trup je kratší a širší než paže a nohy, takže jeho hodnota impedance je nižší. Avšak svalová hmota trupu tvoří téměř polovinu svalové hmoty celého těla, a proto malá změna impedance v trupu má větší dopad na množství svalové hmoty celého těla. Aby proto bylo možné přesně změřit svalovou hmotu celého těla, trup se musí měřit odděleně.



Žádné odhady ani empirické rovnice

V minulosti se u běžných zařízení BIA používaly empirické odhady, aby se kompenzovala technologická omezení měření celého těla a použití jedině nízké frekvence. K výpočtu složení těla pomocí těchto běžných přístrojů BIA bylo třeba přidat statistické údaje, jako je věk a pohlaví, aby bylo možné vypočítat výsledky. Avšak systém InBody tato omezení překonává díky technologiím využívajícím multifrekvenční měření, přímé segmentové měření a systém kontaktních elektrod v 8 bodech, takže systém InBody poskytuje výsledky, které nejsou ovlivňovány věkem, etnickou příslušností ani pohlavím. Jako základ pro hodnocení stanovených hodnot se používají pouze referenční rozsahy nebo hodnocení založená na věku a pohlaví.



Aplikace InBody



Výživa

Sledování změn složení těla za účelem vyhodnocení výživy.

Kim, H.S., Lee, E.S., Lee, Y.J., Jae Ho Lee, C. T.L., & Cho, Y.J (2015) Klinické využití analýzy bioelektrické impedance a jejího fázového úhlu pro hodnocení výživy pacientů ve třídě kritičnosti III. *Journal of the Korean Society for Parenteral and Enteral Nutrition*, 7(2), 54-61

Nefrologie

Získávání užitečných informací o stavu hydratace a výživy pacientů na dialýze.

Ando, M., Suminaka, T., Shimada, N., Asano, K., Ono, J. I., Jikuya, K., & Mochizuki, S. (2018). Bilance vody v těle u pacientů s hemodialýzou odráží stav výživy, krevního oběhu a tělesných tekutin. *Journal of Biorheology*, 32(2), 46-55.

Rehabilitace

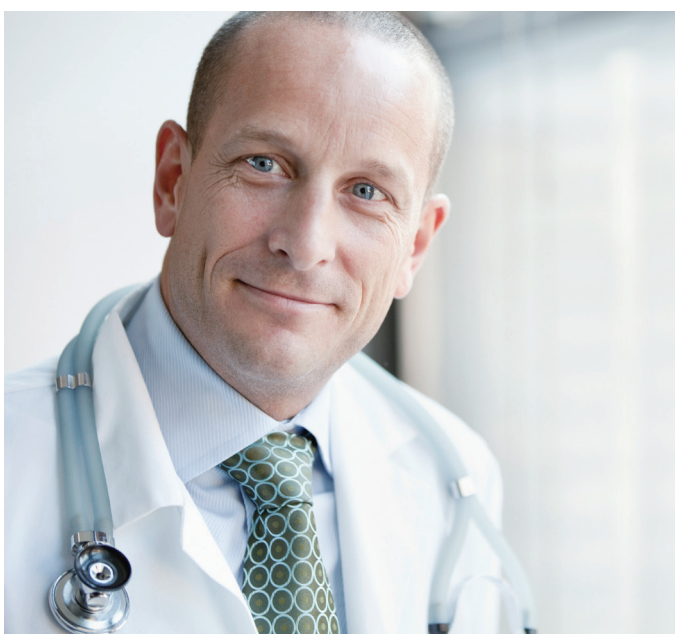
Sledování zranění a pooperační rekonvalescence.

Yoshimura, Y., Bise, T., Nagano, F., Shimazu, S., Shiraishi, A., Yamaga, M., & Koga, H. (2018). Systémový zánět ve fázi zotavování po cévní mozkové příhodě: jeho souvislost se sarkopenií a špatnými výsledky rehabilitace funkce. *Progress in Rehabilitation Medicine*, 3, 20180011.

Profesionální sporty

Řízení složení těla pro zvýšení výkonnosti a minimalizaci rizika zranění.

Almăjan-Guță, B., Rusu, A. M., Nagel, A., & Avram, C. (2015). Četnost zranění a složení těla elitních rumunských hráčů ragby. *Timisoara Physical Education and Rehabilitation Journal*, 8(15), 17-21.



Geriatrické zkoumání

Sledování svalové hmoty a svalové nerovnováhy při sledování sarkopenie pomocí SMI, což souvisí s rizikem pádu a křehkosti.

Yoshimura, Y., Wakabayashi, H., Bise, T., & Tanoue, M. (2018). Propuknutí sarkopenie a její souvislost s aktivitami denního života a dysfagií u pacientů zotavujících se na rehabilitačním oddělení. *Clinical Nutrition*, 37(6), 2022-2028.

Kardiologie

Předběžný screening rizikových faktorů kardiovaskulárních onemocnění.

Thomas, E., Gupta, P. P., Fonarow, G. C., & Horwich, T. B. (2019). Analýza bioelektrické impedance složení těla a přežití u pacientů se srdečním selháním. *Clinical Cardiology*, 42(1), 129-135.

Ověření více než 3 000 výzkumných prací

Studie 1 VYSOKÁ PŘESNOST A REPRODUKOVATELNOST MĚŘENÍ BEZTUKOVÉ HMOTY A TĚLESNÉHO TUKU V PROCENTECH VE SROVNÁNÍ S MĚŘENÍM DEXA

Naměřená hodnota (průměr ± SD) FFM pomocí DXA byla $52,8 \pm 11,0$ a u BIA to bylo $53,6 \pm 11,0$. Hodnota delta (S-MFBIA ve srovnání s DXA) byla $0,8 \pm 2,2$ (5% hranice shody -3,5 až +5,2) a korelační koeficient shody (CCC) byl 0,98 (95% CI, 0,97-0,98). Naměřené hodnoty (průměr ± SD) pro PBF pomocí DXA byly $37,5 \pm 10,6$ % a u S-MFBIA to bylo $36,6 \pm 11,3$ %. Hodnota delta (S-MFBIA ve srovnání s DXA) byla $-0,9 \pm 2,6$ (5% hranice shody 6,0 až +4,2) a CCC byla 0,97 (95% CI, 0,96-0,98).

Hurt, Ryan T. a kol. „Srovnání segmentové analýzy multifrekvenční bioelektrické impedance a rentgenové absorpciometrie s dvojitou energií pro odhad hmoty volného tuku a tělesného tuku v procentech u ambulantní populace.“ *Journal of Parenteral and Enteral Nutrition* (2020).

Studie 2 VYSOKÁ KORELACE S METODOU ŘEDĚNÍ D₂O PRO CELKOVOU TĚLESNOU VODU

Tato studie dospěla k závěru, že přístroj BIA InBodyS10 vykazuje dobrou přesnost při opakovaném testování (%CV = 5,2 v surovém stavu; 1,1 po odstranění odlehlých hodnot) a vysokou přesnost vůči D₂O pro celkovou tělesnou vodu [TBWD₂O = 0.956 TBWBIA, R²= 0,92, střední kvadratická chyba (RMSE) = 2,2 kg]. Všechny odhady tuku v % z DXA, ADP, D₂O a BIA vykazovaly vysokou korelaci s Lohmanovým modelem.

Ng, Bennett K. a kol. „Ověřování rychlého hodnocení složení těla s 4 složkami pomocí rentgenové absorpciometrie s dvojitou energií a analýzy bioelektrické impedance.“ *The American journal of clinical nutrition* 108.4 (2018): 708-715.

Studie 3 VYSOKÁ PŘESNOST POČÍTAČOVÉ TOMOGRAFIE PRO STANOVENÍ SVALOVÉ HMOTY

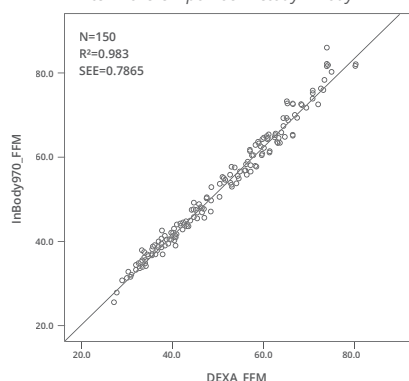
Bylo navrženo, aby se odhad svalové hmoty pomocí DXA a BIA (InBody720) stal preferovanou metodou pro diagnostiku sarkopenie u příjemců transplantované ledviny. Jak metoda DXA, tak InBody vykazovaly vysokou korelaci s CT.

Yanishi, M. a kol. „Rentgenová absorpciometrie s dvojitou energií a analýza bioimpedance jsou klinicky užitečné pro měření svalové hmoty u příjemců transplantované ledviny se sarkopenií.“ *Transplantation proceedings*. Vol. 50.No.1.Elsevier, 2018.

Studie 4 VYSOKÁ KORELACE HMOTY BEZ TUKU MEZI METODOU DEXA A INBODY970

Celkem bylo analyzováno 150 výsledků, přičemž byly vyloučeny duplicitní údaje od téhož subjektu. Hmoty bez tuku měřené pomocí přístroje InBody970 měla velmi vysokou korelaci s metodou DEXA s hodnotou R²=0,983 nebo vyšší. (Hodnota P < 0,05)

* Interní ověření pomocí metody InBody



* Celkem: 150 mužů: 74, ženy: 76

FFM (kg)	Celkem	Muži	Ženy
	Průměr±SD (rozmezí)	Průměr±SD (rozmezí)	Průměr±SD (rozmezí)
DEXA	49,09 ± 12,95 (27,2-80,8)	59,49 ± 9,19 (37,6-80,8)	38,97 ± 6,42 (27,2-57,6)
InBody970	50,92 ± 13,60 (25,4-86,0)	61,77 ± 10,06 (38,6-86,0)	40,35 ± 6,34 (25,4-57,7)

Přehled výsledků složení těla

InBody

[InBody970] [Yscope]

InBody

www.inbody.com

ID	Height	Age	Gender	Test Date / Time
Jane Doe	156.9cm	51	Female	2021.03.31. 15 :44

1 Body Composition Analysis

	Values	Total Body Water	Soft Lean Mass	Fat Free Mass	Weight
Total Body Water(L)	27.4 (26.4 ~ 32.2)	27.4	34.9 (33.8 ~ 41.4)	37.1 (35.8 ~ 43.8)	59.1 (43.9 ~ 59.5)
Protein (kg)	7.1 (7.0 ~ 8.6)				
Minerals (kg)	2.64 (2.44 ~ 2.98)	non-osseous			
Body Fat Mass (kg)	22.0 (10.3 ~ 16.5)				

2 Muscle-Fat Analysis

	Under	Normal	Over
Weight (kg)	55 70 85 100 115 130 145 160 175 190 205 %	59.1	
SMM (kg) Skeletal Muscle Mass	70 80 90 100 110 120 130 140 150 160 170 %	19.5	
Body Fat Mass (kg)	40 60 80 100 160 220 280 340 400 460 520 %	22.0	

3 Obesity Analysis

	Under	Normal	Over
BMI (kg/m ²) Body Mass Index	10.0 15.0 18.5 22.0 25.0 30.0 35.0 40.0 45.0 50.0 55.0	24.0	
PBF (%) Percent Body Fat	8.0 13.0 18.0 23.0 28.0 33.0 38.0 43.0 48.0 53.0 58.0	37.2	

4 Segmental Lean Analysis

	Under	Normal	Over	ECW Ratio
Right Arm (kg) (%)	55 70 85 100 115 130 145 160 175 %	2.00 101.2		0.378
Left Arm (kg) (%)	55 70 85 100 115 130 145 160 175 %	1.91 97.1		0.378
Trunk (kg) (%)	70 80 90 100 110 120 130 140 150 %	17.7 99.0		0.398
Right Leg (kg) (%)	70 80 90 100 110 120 130 140 150 %	5.24 84.2		0.403
Left Leg (kg) (%)	70 80 90 100 110 120 130 140 150 %	5.15 82.7		0.404

5 ECW Ratio Analysis

	Under	Normal	Over
ECW Ratio	0.320 0.340 0.360 0.380 0.390 0.400 0.410 0.420 0.430 0.440 0.450	0.398	

6 Body Composition History

	20.07.21 15:11	20.08.27 14:58	20.09.20 15:02	20.11.23 15:23	20.12.21 15:00	21.02.19 14:52	21.03.20 15:12	21.03.31 15:44
Weight (kg)	65.3	63.9	62.4	61.8	62.3	60.9	60.5	59.1
SMM (kg) Skeletal Muscle Mass	20.1	20.0	19.7	19.7	19.8	19.7	19.8	19.5
PBF (%) Percent Body Fat	41.3	40.7	39.2	39.0	39.4	38.6	37.7	37.2
ECW Ratio	0.399	0.398	0.396	0.396	0.397	0.396	0.398	0.398

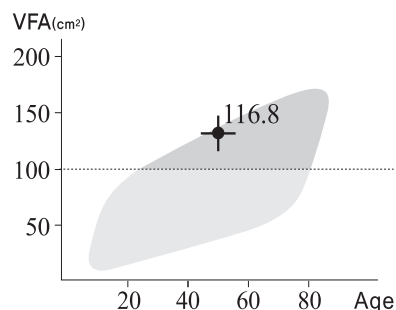
Recent Total

7 InBody Score

67 / 100 Points

* Total score that reflects the evaluation of body composition. A muscular person may score over 100 points.

8 Visceral Fat Area



9 Weight Control

Target Weight 51.7 kg
Weight Control -7.4 kg
Fat Control -10.1 kg
Muscle Control +2.7 kg

10 Research Parameters

Intracellular Water 16.5 L (16.3~19.9)
Extracellular Water 10.9 L (10.0~12.2)
Basal Metabolic Rate 1171 kcal (1255~1451)
Waist-Hip Ratio 0.94 (0.75~0.85)
Body Cell Mass 23.6 kg (23.4~28.6)
SMI 5.8 kg/m²

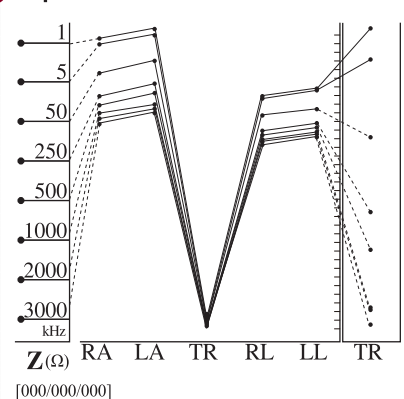
11 Whole Body Phase Angle

ϕ (°) 50 kHz | 4.0°

12 Segmental Body Phase Angle

ϕ (°)	RA	LA	TR	RL	LL
5 kHz	1.7	4.7	1.7	1.6	4.5
50 kHz	4.1	5.7	4.0	3.8	4.3
250 kHz	3.8	5.6	2.9	2.9	2.9

13 Impedance



[000/000/000]

Interpretace přehledu výsledků

1 Analýza složení těla

Tělesná hmotnost je součtem celkové tělesné vody, bílkovin, minerálů a hmoty tělesného tuku. Udržujte si vyvážené složení těla, abyste zůstali zdraví.

2 Analýza svalů a tuku

Rovnováha mezi hmotou kosterního svalstva a tělesného tuku je klíčovým ukazatelem zdraví. Analýza svalů a tuku ukazuje tuto rovnováhu porovnáním délky sloupců pro hmotnost, hmotu kosterního svalstva a hmotu tělesného tuku.

3 Analýza obezity

Přesnou analýzu obezity nelze provést pomocí BMI, ale je třeba posoudit poměr tělesného tuku k hmotnosti, který se nazývá procento tělesného tuku. Přístroj InBody970 dokáže odhalit skrytá zdravotní rizika, jako je sarkopenická obezita, kdy člověk navenek vypadá štíhle, ale má vysoké procento tělesného tuku.

4 Segmentová analýza štíhlosti

Analýza svalové hmoty v jednotlivých segmentech pomáhá identifikovat nerovnováhu a nedostatečně vyvinutou svalovou hmotu, což lze využít k vypracování cílených cvičebních programů. Hmotnost paží, trupu a nohou je znázorněna dvěma sloupci. Horní sloupec ukazuje, kolik svalové hmoty je v daném segmentu v porovnání s ideální hmotností, a spodní sloupec ukazuje, jak dostatečná je svalová hmota pro udržení vaší aktuální hmotnosti.

5 Analýza poměru ECW

Poměr extracelulární vody ukazuje stav rovnováhy vody v těle. Poměr mezi intra/extracelulární vodou zůstává u zdravých jedinců konstantní na hodnotě přibližně 3:2, a pokud se tato rovnováha poruší, může docházet k otokům.

6 Historie složení těla

Pomocí historie složení těla můžete sledovat změny hmotnosti, hmoty kosterního svalstva, podíl tělesného tuku v procentech a poměr ECW. Pravidelné provádění testů pomocí systému InBody a sledování změn ve složení těla je dobrým krokem ke zdravějšímu životu.

7 Hodnocení pomocí systému InBody

Jedinečný index vytvořený společností InBody, který usnadňuje pochopení aktuálního stavu složení těla. Standardní rozsah je mezi 70–90 body, a na základě kontroly hmotnosti se pohybuje nahoru nebo dolů od hodnoty 80 bodů.

8 Plocha vnitřního tuku

Plocha vnitřního tuku je odhadovaná plocha tuku obklopujícího vnitřní orgány v oblasti břicha. Udržujte plochu vnitřního tuku pod hodnotou 100 cm², abyste minimalizovali riziko onemocnění souvisejících s vnitřním tukem. Pomocí přístroje Yscope poskytuje zařízení InBody970 přesnější analýzu břišního tuku díky samostatnému měření břišní impedance.

9 Kontrola hmotnosti

Kontrola hmotnosti ukazuje doporučenou hmotnost, množství tuku a svalové hmoty pro zdravé tělo. Znaménko „+“ znamená zisk a znaménko „-“ znamená ztrátu. Pomocí kontroly hmotnosti si můžete nastavit svůj vlastní cíl.

10 Výzkumné parametry

K dispozici jsou různé výzkumné parametry, jako je bazální metabolická rychlost, poměr pasu a boků, stupeň obezity, index hmoty kosterního svalstva (SMI), hmota tělesných buněk a další.

11 Fázový úhel celého těla

Fázový úhel souvisí se zdravotním stavem buněčné membrány. Posílení buněčné membrány a strukturální funkce zvýší fázový úhel, zatímco poškození nebo snížení funkce povede ke snížení fázového úhlu.

12 Segmentový fázový úhel těla

Segmentový fázový úhel udává fázový úhel každé části těla, což představuje úroveň strukturální integrity a funkce buněčné membrány.

13 Impedance

Impedance je odpor, který vzniká při působení slabého střídavého proudu na lidské tělo. Systém InBody vizualizuje impedanci pomocí grafu. Chybu obrácené impedance můžete snadno zjistit kontrolou překřížených čar v grafu impedance. Pod grafem impedance můžete také zkontrolovat chybové kódy.

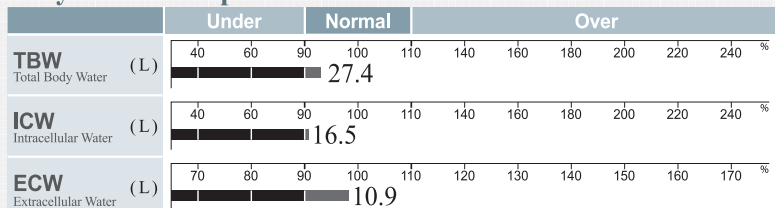
Přehled výsledků měření tělesné vody

InBody Body Water [InBody970] [Yscope]

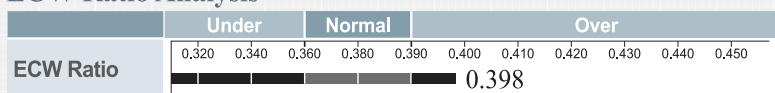
InBody
www.inbody.com

ID	Height	Age	Gender	Test Date / Time
Jane Doe	156.9cm	51	Female	2021.03.31. 15:44

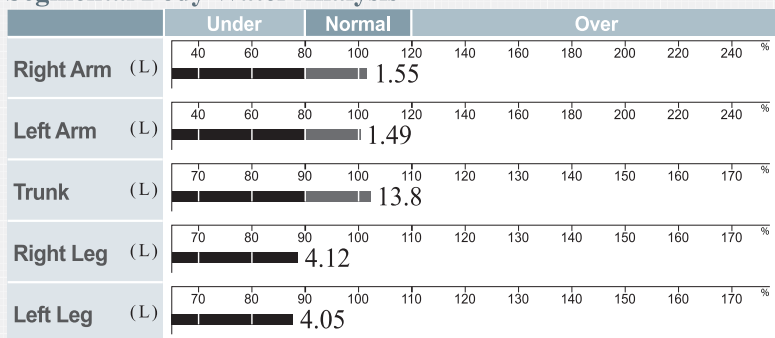
Body Water Composition



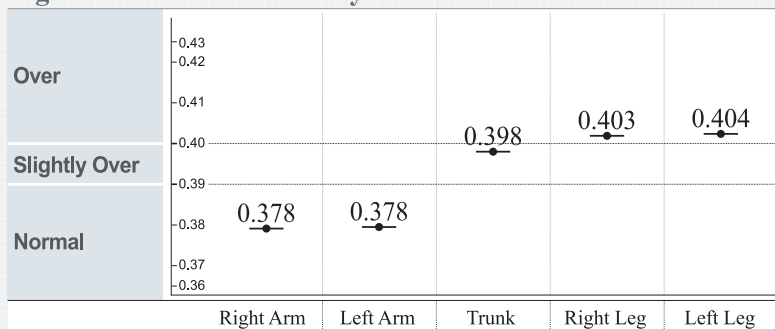
ECW Ratio Analysis



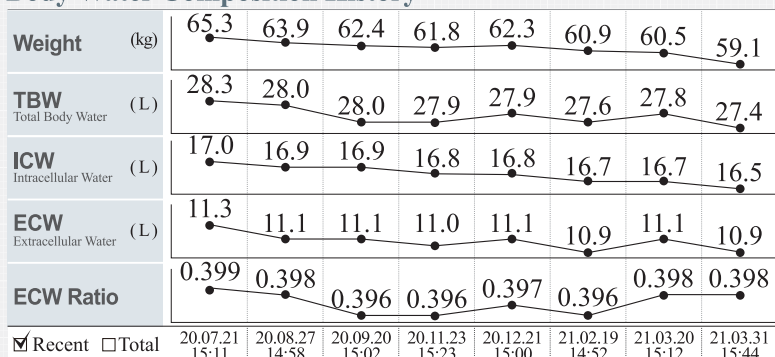
Segmental Body Water Analysis



Segmental ECW Ratio Analysis



Body Water Composition History



Recent Total

Body Composition Analysis

Protein	7.1 kg	(7.0~8.6)
Minerals	2.64 kg	(2.44~2.98)
Body Fat Mass	22.0 kg	(10.3~16.5)
Fat Free Mass	37.1 kg	(35.8~43.8)
Bone Mineral Content	2.18 kg	(2.01~2.45)

Muscle-Fat Analysis

Weight	59.1 kg	(43.9~59.5)
Skeletal Muscle Mass	19.5 kg	(19.5~23.9)
Soft Lean Mass	34.9 kg	(33.8~41.4)
Body Fat Mass	22.0 kg	(10.3~16.5)

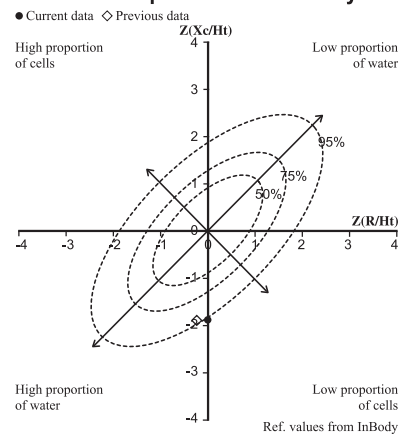
Whole Body Phase Angle

ϕ (°) 50kHz | 4.0°

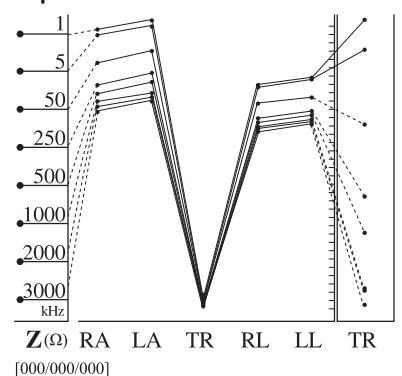
Segmental Body Phase Angle

	RA	LA	TR	RL	LL
ϕ (°) 5 kHz	1.7	4.7	1.7	1.6	4.5
50 kHz	4.1	5.7	4.0	3.8	4.3
250 kHz	3.8	5.6	2.9	2.9	2.9

Bioelectrical Impedance Vector Analysis



Impedance



Přehled výsledků hodnocení

InBody Evaluation

[InBody970] [Yscope]

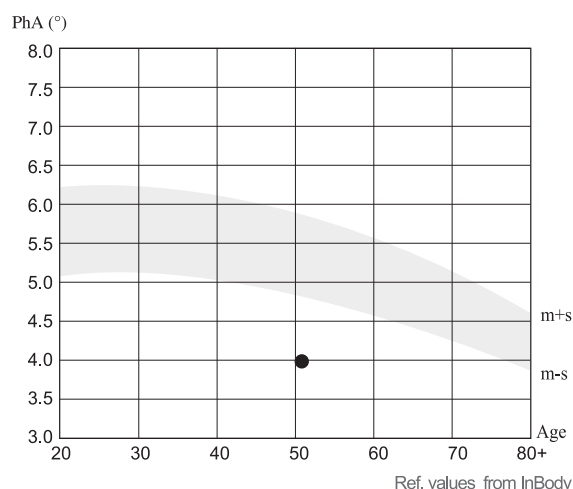
InBody

www.inbody.com

ID	Height	Age	Gender	Test Date / Time
Jane Doe	156.9cm	51	Female	2021.03.31. 15:44

Research Parameters

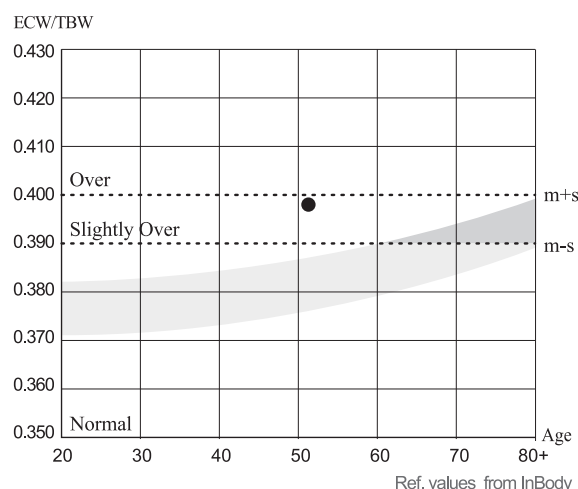
Whole Body Phase Angle_50kHz



PhA (°)	Young adults (T-score)	Age-matched (Z-score)
4.0	-2.9	-2.4

Body Water Evaluation

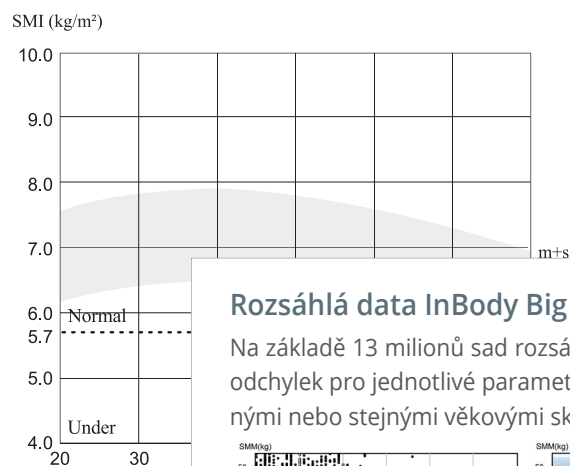
Whole Body ECW Ratio



ECW/TBW	Young adults (T-score)	Age-matched (Z-score)
0.398	3.9	2.8

Muscle · Nutrition Evaluation

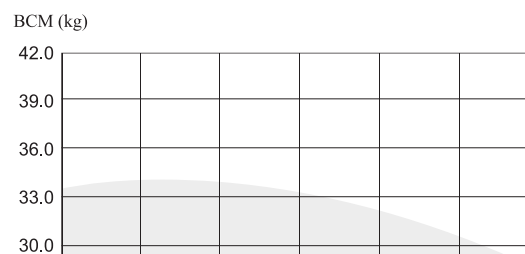
Skeletal Muscle mass Index



SMI (kg/m ²)
5.8

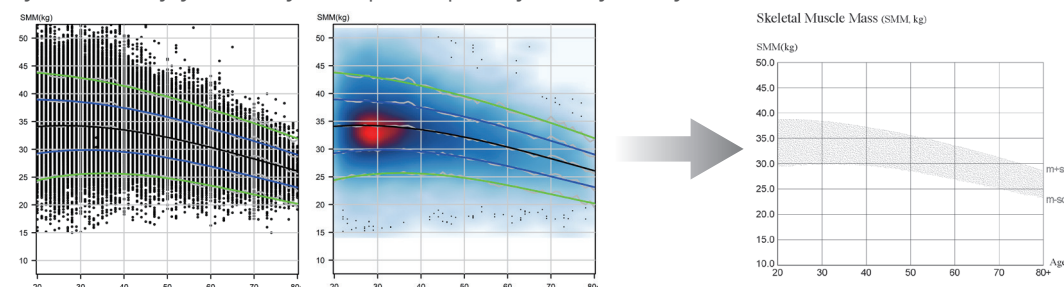
Research Parameters

Body Cell Mass



Rozsáhlá data InBody Big Data

Na základě 13 milionů sad rozsáhlých dat systém InBody poskytuje grafy průměrů a směrodatných odchylek pro jednotlivé parametry výsledků podle věku. Umožňuje srovnávací hodnocení mezi různými nebo stejnými věkovými skupinami pro objektivnější analýzu složení těla.



* Rozsáhlá data InBody Big Data se používají pro hodnocení podle věku, které se zobrazuje jako hodnocení T a hodnocení Z, která udávají relativní postavení subjektu. Nemají vliv na výsledek analýzy složení těla subjektů.

* V závislosti na zemi bude graf nastaven odlišně.

Přehled výsledků výzkumu

InBody Research

[InBody970] [Yscope]

InBody

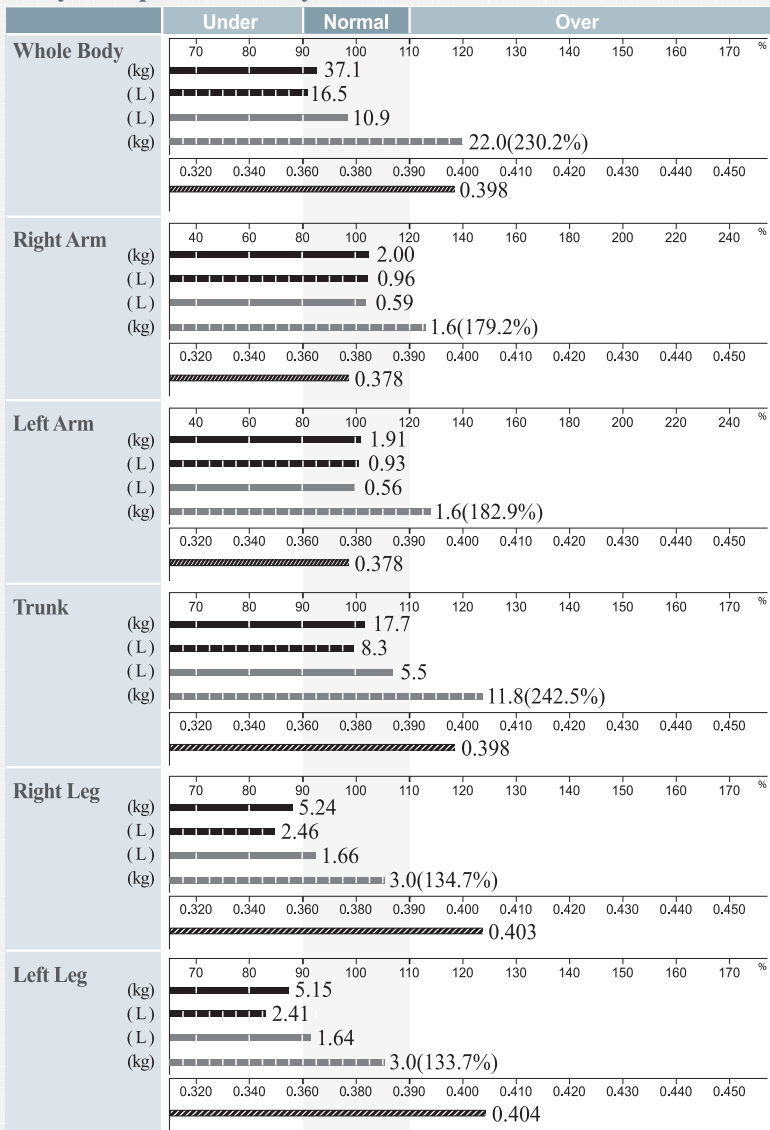
www.inbody.com

ID	Height	Age	Gender	Test Date / Time
Jane Doe	156.9cm	51	Female	2021.03.31. 15 : 44

Body Composition Summary

	FFM	FM	ICW	ECW	TBW	ECW/TBW
Right Arm	2.00 kg	1.6 kg	0.96 L	0.59 L	1.55 L	0.378
Left Arm	1.91 kg	1.6 kg	0.93 L	0.56 L	1.49 L	0.378
Trunk	17.7 kg	11.8 kg	8.3 L	5.5 L	13.8 L	0.398
Right Leg	5.24 kg	3.0 kg	2.46 L	1.66 L	4.12 L	0.403
Left Leg	5.15 kg	3.0 kg	2.41 L	1.64 L	4.05 L	0.404
Whole Body	37.1 kg	22.0 kg	16.5 L	10.9 L	27.4 L	0.398
Weight	59.1 kg		* The difference between the whole body values and sum of segmental values are from the craniocervical region.			

Body Composition Analysis



Research Parameters

Body Mass Index	24.0 kg/m ² (18.5~25.0)
Percent Body Fat	37.2% (18.0~28.0)
Skeletal Muscle Mass	19.5 kg (19.5~23.9)
Soft Lean Mass	34.9 kg (33.8~41.4)
Protein	7.1 kg (7.0~8.6)
Mineral	2.64 kg (2.44~2.98)
Bone Mineral Content	2.18 kg (2.01~2.45)
Basal Metabolic Rate	1171 kcal (1255~1451)
Waist Hip Ratio	0.94 (0.75~0.85)
Waist Circumference	85.0 cm
Visceral Fat Area	116.8 cm ²
Obesity Degree	114% (90~110)
Body Cell Mass	23.6 kg (23.4~28.6)
Arm Circumference	30.5 cm
Arm Muscle Circumference	26.0 cm
TBW/FFM	73.7%
Fat Free Mass Index	15.1 kg/m ²
Fat Mass Index	8.9 kg/m ²
Skeletal muscle mass Index	5.8 kg/m ²

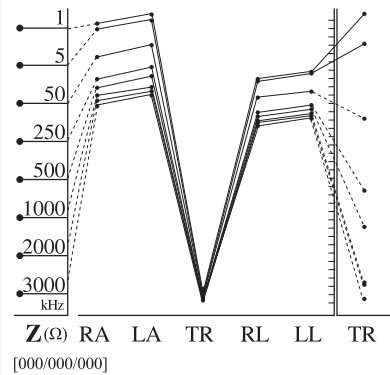
Whole Body Phase Angle

ϕ (°) 50 kHz | 4.0°

Segmental Body Phase Angle

ϕ (°)	RA	LA	TR	RL	LL
5 kHz	1.7	4.7	1.7	1.6	4.5
50 kHz	4.1	5.7	4.0	3.8	4.3
250 kHz	3.8	5.6	2.9	2.9	2.9

Impedance



Srovnávací přehled výsledků

InBody Comparison [InBody970] [Yscope]

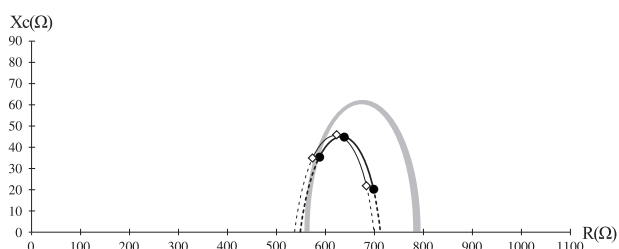
InBody

www.inbody.com

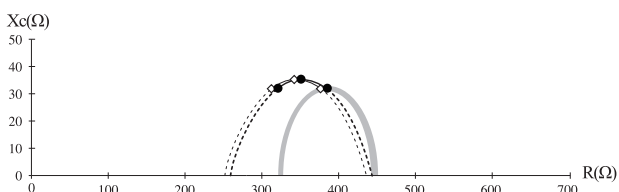
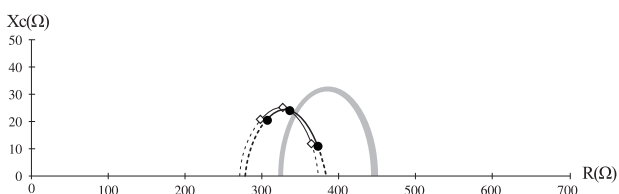
ID	Height	Age	Gender	Test Date / Time
Jane Doe	156.9cm	51	Female	2021.03.31. 15:44

— Standard median curve ● Today's Results ○ Recent Results
(2021.03.20 15:12)

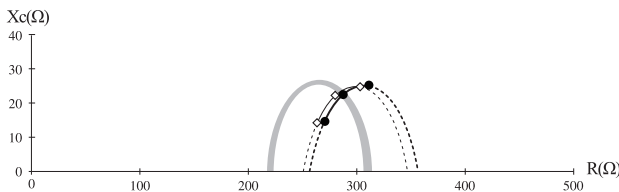
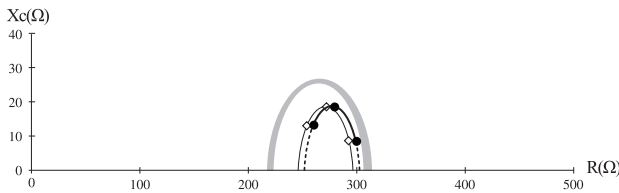
Whole Body	Today	Recent	Difference
Weight (kg)	59.1	60.5	-1.4
SMM (kg) <small>Skeletal Muscle Mass</small>	19.5	19.8	-0.3
Body Fat Mass (kg)	22.0	22.8	-0.8
ECW Ratio	0.398	0.398	0.000
Phase Angle (°)	4.0	4.1	-0.1



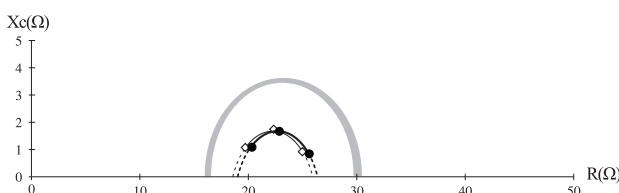
Right Arm	Today	Recent	Difference
Lean Mass (kg)	2.00	2.06	-0.06
ECW Ratio	0.378	0.378	0.000
Phase Angle (°)	4.1	4.3	-0.2
Left Arm	Today	Recent	Difference
Lean Mass (kg)	1.91	1.98	-0.07
ECW Ratio	0.378	0.377	+0.001
Phase Angle (°)	5.7	5.7	0.0



Right Leg	Today	Recent	Difference
Lean Mass (kg)	5.24	5.35	-0.11
ECW Ratio	0.403	0.403	0.000
Phase Angle (°)	3.8	3.8	0.0
Left Leg	Today	Recent	Difference
Lean Mass (kg)	5.15	5.26	-0.11
ECW Ratio	0.404	0.405	-0.001
Phase Angle (°)	4.3	4.3	0.0



Trunk	Today	Recent	Difference
Lean Mass (kg)	17.7	18.0	-0.3
ECW Ratio	0.398	0.399	-0.00
Phase Angle (°)	4.0	4.1	-0.1



Yscope

Přenosný analyzátor břišního tuku BIA

Břišní impedance



Obvod břicha



Metoda bez ozařování bezpečná pro pravidelné měření

Přístroj Yscope poskytuje komplexní analýzu břišního tuku včetně měření vnitřního a podkožního tuku pomocí stejné technologie BIA, jakou používají profesionální přístroje InBody. Jedná se o neinvazivní řešení bez ozařování pro pravidelné sledování a kontrolu břišního tuku.

Specializovaná analýza břišního tuku

Kromě analýzy tuku od společnosti InBody poskytuje přístroj Yscope hloubkovou analýzu břišního tuku pro dosažení přesnějších výsledků.

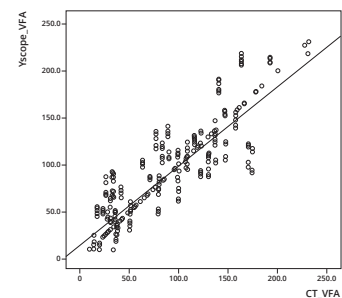
Měření vnitřního a podkožního tuku pomocí přístroje Yscope prokázalo vysokou korelaci s výsledky CT vyšetření.

Snadné a rychlé měření

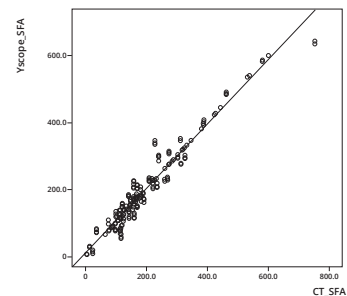
Yscope je přenosný analyzátor břišního tuku, který lze integrovat s přístrojem InBody970. Přístroj Yscope poskytuje přibližně za 10 sekund rychlé a snadné řešení pro posouzení základních břišních parametrů.



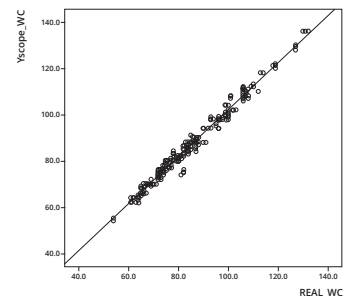
Yscope(970) \propto CT: VFA $R^2 = 0,862$



Yscope(970) \propto CT: SFA $R^2 = 0,967$



Yscope(970) \propto Měřicí pásmo: WC $R^2 = 0,982$



* Pokud není přístroj Yscope připojen, může se výsledek lišit.

Přehled výsledků pro vnitřní tuk

InBody Visceral Fat [InBody970] [Yscope]

InBody

www.inbody.com

ID	Height	Age	Gender	Test Date / Time
Jane Doe	156.9cm	51	Female	2021.03.31. 15:44

Body Fat Composition

	Values	Abdominal Fat Mass	Trunk Fat Mass	Body Fat Mass	Weight
Subcutaneous Fat (kg)	1.58 (0.90 ~ 1.81)	2.64 (1.35 ~ 2.71)	11.8 (3.9 ~ 7.8)	22.0 (10.3 ~ 16.5)	59.1 (43.9 ~ 59.5)
Visceral Fat (kg)	1.06 (0.45 ~ 0.90)				
Non-Abdominal Fat					
Arms/Legs Fat (kg)	9.1 (4.9 ~ 9.9)				
Fat Free Mass (kg)	37.1 (35.8 ~ 43.8)				

* The difference between the whole body values and sum of segmental values are from the craniocervical region.

Body Fat Analysis

	Under	Normal	Over
Weight (kg)	55 70 85 100 115 130 145 160 175 190 205 %	59.1	
Body Fat Mass (kg)	40 60 80 100 160 220 280 340 400 460 520 %	22.0	
BMI (kg/m ²) Body Mass Index	10.0 15.0 18.5 22.0 25.0 30.0 35.0 40.0 45.0 50.0 55.0	24.0	
PBF (%) Percent Body Fat	8.0 13.0 18.0 23.0 28.0 33.0 38.0 43.0 48.0 53.0 58.0	37.2	

Abdominal Fat Analysis

	Under	Normal	Over
Abdominal Fat (kg)	40.0 60.0 80.0 100.0 160.0 220.0 280.0 340.0 400.0 460.0 520.0 %	2.64	
Subcutaneous Fat (kg)	40.0 60.0 80.0 100.0 160.0 220.0 280.0 340.0 400.0 460.0 520.0 %	1.58	
Visceral Fat (kg)	40.0 60.0 80.0 100.0 160.0 220.0 280.0 340.0 400.0 460.0 520.0 %	1.06	

Abdominal Obesity Analysis

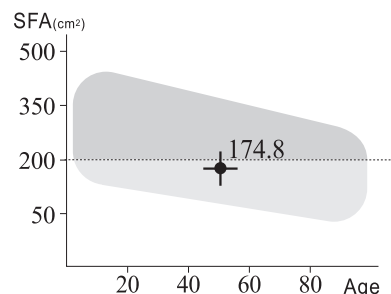
	Under	Normal	Over
Waist-Hip Ratio	0.65 0.70 0.75 0.80 0.85 0.90 0.95 1.00 1.05 1.10 1.15	0.94	
V/S Ratio Visceral/Subcutaneous Fat Ratio	0.10 0.20 0.30 0.40 0.50 0.60 0.70	0.67	

Body Fat History

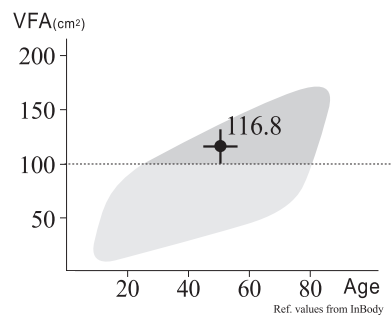
	20.07.21 15:11	20.08.27 14:58	20.09.20 15:02	20.11.23 15:23	20.12.21 15:00	21.02.19 14:52	21.03.20 15:12	21.03.31 15:44
Weight (kg)	65.3	63.9	62.4	61.8	62.3	60.9	60.5	59.1
Body Fat Mass (kg)	27.0	26.0	24.5	24.1	24.5	23.5	22.9	22.0
Abdominal Fat (kg)	3.24	3.12	2.94	2.89	2.95	2.82	2.75	2.64
Subcutaneous Fat (kg)	1.94	1.87	1.76	1.73	1.76	1.69	1.64	1.58
Visceral Fat (kg)	1.30	1.25	1.18	1.16	1.18	1.13	1.10	1.06

Recent Total

Subcutaneous Fat Area



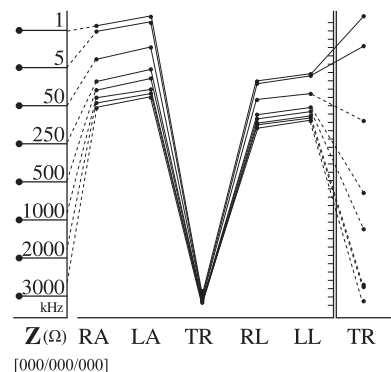
Visceral Fat Area



Research Parameters

Waist Circumference	85.0 cm
Obesity Degree	114% (90~110)
Waist-Height Ratio	0.54 (0.51 Under)
Body Adiposity Index	28.1 (26.9 Under)
ABSI	0.081 (0.076 Under)
Conicity Index	1.27 (1.25 Under)
Basal Metabolic Rate	1171 kcal (1255~1451)
ECW Ratio	0.398 (0.360~0.400)
SMI	5.8 kg/m ²
FMI	8.9 kg/m ²
Lean Mass/Visceral Fat Area	0.17 kg/m ² (0.15 Over)

Impedance



Copyright ©1996~ by InBody Co., Ltd. All rights reserved. BR-English-HI_4-A-191001

* Kompletní přehled výsledků vnitřního tuku se zobrazí až po připojení přístroje Yscope.

Přehled výsledků složení těla pro děti

InBody

[InBody970] [Yscope]

InBody

www.inbody.com

ID	Height	Age	Gender	Test Date / Time
John Doe	139.4cm	10	Male	2021.03.31. 16:40

Body Composition Analysis

Total amount of water in my body	Total Body Water	(L)	19.1 (18.0 ~ 22.0)
What I need to build muscles	Protein	(kg)	5.1 (4.9 ~ 5.9)
What I need for strong bones	Mineral	(kg)	1.91 (1.66 ~ 2.04)
Where my excess energy is stored	Body Fat Mass	(kg)	8.9 (3.8 ~ 7.7)
Sum of the above	Weight	(kg)	35.0 (27.3 ~ 36.9)

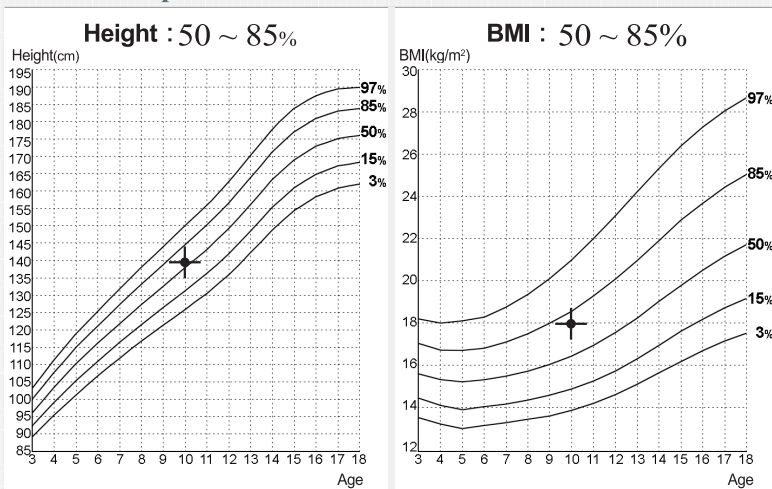
Muscle-Fat Analysis

	Under	Normal	Over
Weight (kg)	55 70 85 100 115 130 145 160 175 190 205 %		
	35.0		
SMM (kg)	70 80 90 100 110 120 130 140 150 160 170 %		
	13.3		
Body Fat mass (kg)	40 60 80 100 120 140 160 180 200 220 240 260 280 300 320 340 360 380 400 420 440 460 480 500 520 %		
	8.9		

Obesity Analysis

	Under	Normal	Over
BMI (kg/m ²)	7.9 10.9 13.9 16.4 18.6 20.2 22.2 24.2 26.2 28.2 30.2		
	18.0		
PBF (%)	0.0 5.0 10.0 15.0 20.0 25.0 30.0 35.0 40.0 45.0 50.0		
	25.6		

Growth Graph



Body Composition History

Height (cm)	134.5	135.2	136.4	137.2	137.9	138.5	139.0	139.4
Weight (kg)	30.8	31.3	32.0	32.8	33.5	34.0	34.4	35.0
SMM (kg)	12.5	12.7	12.8	13.0	13.1	13.1	13.2	13.3
PBF (%)	20.4	20.7	21.6	22.3	23.1	24.3	25.1	25.6
<input checked="" type="checkbox"/> Recent <input type="checkbox"/> Total	19.07.15 14:22	19.11.19 09:30	20.01.29 15:18	20.03.15 11:00	20.06.21 15:00	20.09.19 14:52	20.12.20 15:12	21.03.31 16:40

Growth Score

85/100 Points

* If tall and within great body comparison standards, the growth score may surpass 100 points.

Nutrition Evaluation

- Protein Normal Deficient
- Minerals Normal Deficient
- Body Fat Normal Deficient Excessive

Obesity Evaluation

- BMI Normal Under Slightly Over Over
- PBF Normal Slightly Over Over

Body Balance Evaluation

- Upper Balanced Slightly Unbalanced Extremely Unbalanced
- Lower Balanced Slightly Unbalanced Extremely Unbalanced
- Upper-Lower Balanced Slightly Unbalanced Extremely Unbalanced

Segmental Lean Analysis

Right Arm	0.95 kg
Left Arm	0.94 kg
Trunk	10.8 kg
Right Leg	3.41 kg
Left Leg	3.37 kg

Research Parameters

Basal Metabolic Rate	933 kcal (948 ~ 1077)
Child Obesity Degree	109 % (90 ~ 110)

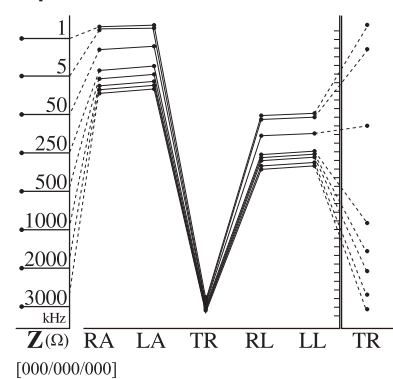
Whole Body Phase Angle

ϕ (°) 50 kHz | 4.3°

Segmental Body Phase Angle

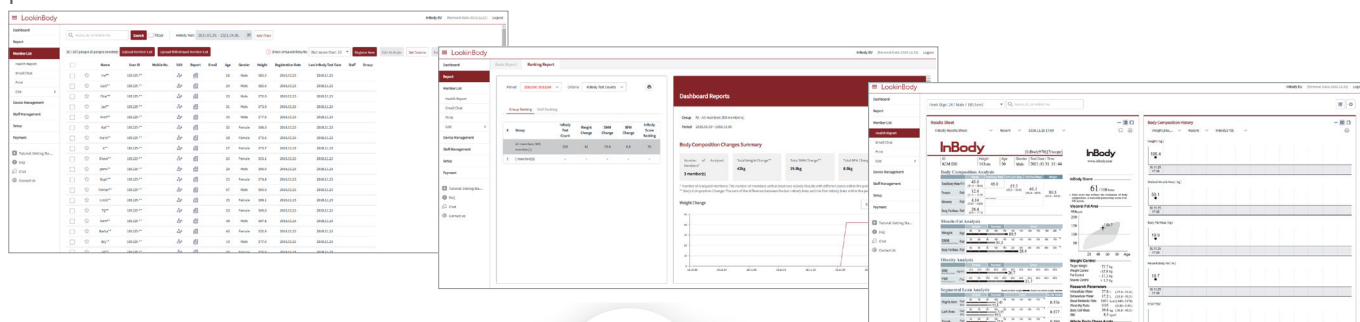
	RA	LA	TR	RL	LL
ϕ (°) 5 kHz	1.4	1.4	3.0	1.9	1.8
50 kHz	3.6	3.3	6.8	5.0	4.8
250 kHz	3.7	3.6	9.4	5.0	4.9

Impedance

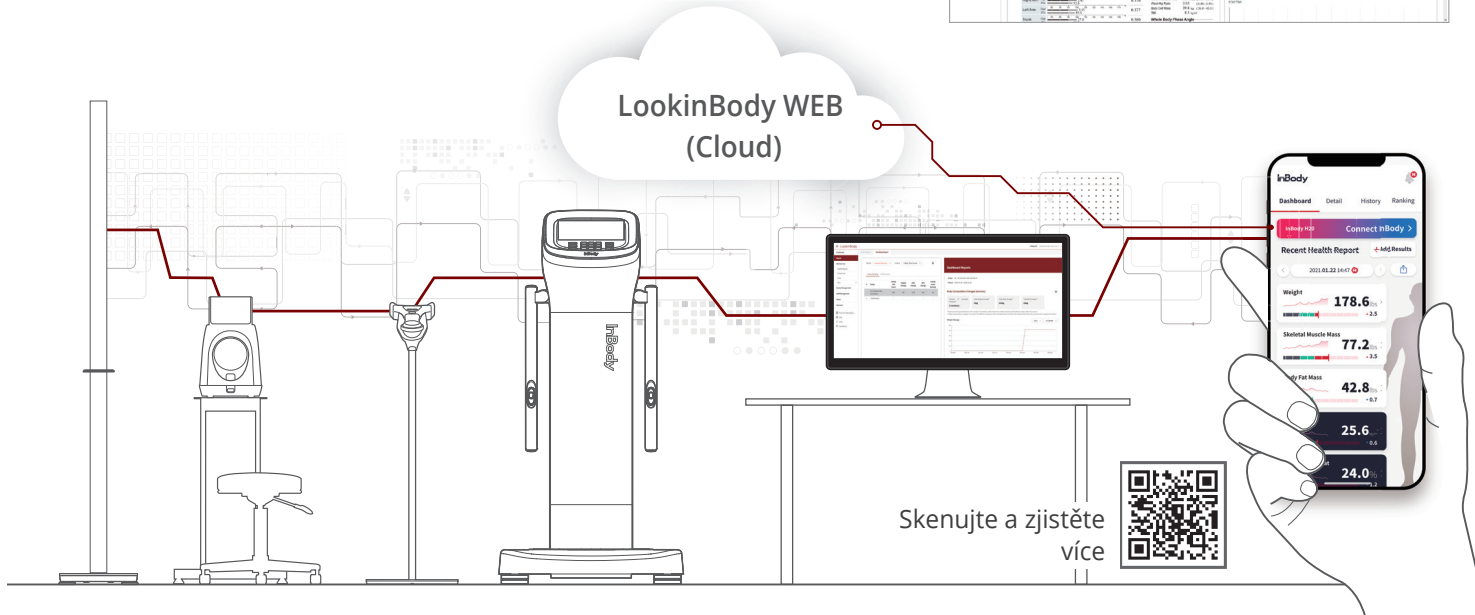


Program pro správu dat

LookinBody Web vám umožňuje prohlížet data InBody prostřednictvím cloudu a poskytuje analytický přehled podle poboček nebo zaměstnanců.



LookinBody WEB
(Cloud)



Integrační řešení InBody

Vybavení pro fitness



Integrace dat prostřednictvím cloudového serveru InBody

Software pro výživu



Zdravotnický software (EMR)



Přímá integrace prostřednictvím softwaru pro PC

Firemní wellness



Vládní/veřejný systém



Kontrola zdraví pomocí přístroje InBody



1
KROK

Test krevního tlaku

Spustte měření krevního tlaku pomocí přístroje BPBIO a výsledek testu se automaticky přeneše do zařízení InBody.



2
KROK

Test pomocí stadiometru

Změřte si svou výšku pomocí BSM. Pro přesný test pomocí přístroje InBody je rozhodující přesné změření výšky.



3
KROK

Test pomocí přístroje Yscope

Přitáhněte páčku, abyste zjistili impedanci, a otáčejte kolečkem, abyste změřili obvod.



4
KROK

Identifikace člena

Identifikace členů pomocí InBody BAND, Skener otisků prstů nebo čarového kódu.



5
KROK

Test pomocí zařízení InBody

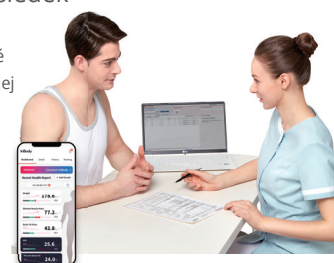
Provedte test pomocí přístroje InBody tím, že vstoupíte na podložku pro nohy a uchopíte rukojeti.



6
KROK

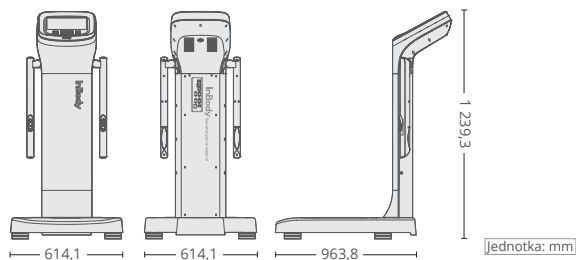
Získejte svůj výsledek

Získejte komplexní výsledek testu na jedné stránce a zkonzultujte jej s odborníky.



Specifikace

InBody ANALYZÁTOR SLOŽENÍ TĚLA 970



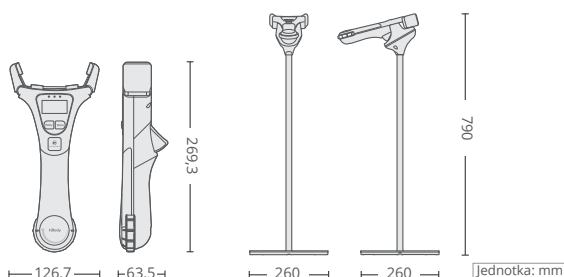
Analýza bioelektrické impedance (BIA) Položka měření	Bioelektrická impedance (Z) Fázový úhel	40 měření impedance pomocí 8 různých frekvencí (1 kHz, 5 kHz, 50 kHz, 250 kHz, 500 kHz, 1 MHz, 2 MHz, 3 MHz) v každém z 5 segmentů (pravá paže, levá paže, trup, pravá noha a levá noha) 15 měření fázového úhlu pomocí 3 různých frekvencí (5 kHz, 50 kHz, 250 kHz) v každém z 5 segmentů (pravá paže, levá paže, trup, pravá noha a levá noha)
Metoda měření pomocí elektrod	Tetrapolární 8bodové dotykové elektrody	
Metoda měření	Přímá segmentová multifrekvenční analýza bioelektrické impedance (DSM-BIA) Simultánní multifrekvenční analýza bioelektrické impedance (SMF-BIA)	
Složení těla Metoda výpočtu	Žádný empirický odhad (věk a pohlaví nemají na výsledek vliv)	
Kompatibilní zařízení	Řada BSM (BSM170B, BSM370, BSM270B), řada BPBIO (BPBIO320, BPBIO750), Yscope a řada InBodyBAND	
Zobrazení loga	Na přehledu výsledků lze uvést jméno, adresu a informace o obsahu	
Digitální výsledky	LCD displej, LookinBody Web, LookinBody120	
Typ výsledku Přehledy	Přehled výsledků složení těla, přehled výsledků tělesné vody, přehled výsledků hodnocení, přehled výsledků výzkumu, přehled porovnávaných výsledků, přehled výsledků pro děti, přehled výsledků vnitřního tuku	
Hlasový průvodce	Zvukové pokyny pro probíhající test a dokončení testu	
Ukládání dat	Lze uložit až 100 000 měření (po zadání ID)	
Menu správy	Nastavení: konfigurace nastavení a správa dat Řešení problémů: další informace, které vám pomohou při používání zařízení InBody970	
USB InBody	Kopírování, zálohování nebo obnovování testovacích dat LookinBody (data lze zobrazit v aplikaci Excel nebo LookinBody120)	
Čtečka čárových kódů	ID člena se zadá automaticky po naskenování čárového kódu	
Funkce rozeznávání řady InBodyBAND	Rozeznává řadu InBodyBAND subjektu a automaticky zadává do přístroje InBody970 osobní informace	
Funkce rozeznávání otisků prstů	Rozeznává otisk prstu osoby provádějící měření a automaticky zadává do přístroje InBody970 osobní informace	
Zálohování dat	Zálohování dat uložených v přístroji InBody970 pomocí USB InBody	
QR kód	Prohlédněte si svůj výsledek v mobilní aplikaci InBody	
Používaný jmenovitý proud	1 kHz: 70 uA (+10 uA), vyšší než 5 kHz: 300 uA (+30 uA)	
Adaptér	Bridgepower (BPM040S12F07) Mean Well (GSM40A12-P1R)	Vstup napájení 100-240 V AC, 50-60 Hz, 1,2 A (1,2-0,6 A) Výstup napájení 12 V DC, 3,4 A Vstup napájení 100-240 V AC, 50-60 Hz, 1,0-0,5 A Výstup napájení 12 V DC, 3,34 A
Typ displeje	Barevný LCD displej 1 280 x 800 TFT, 10,1 palce	
Vnitřní rozhraní	Dotykový displej, klávesnice	
Externí rozhraní	RS-232C 4EA, USB Host 2EA, USB Slave 1EA, LAN(10/100T) 1EA, Bluetooth 1EA, Wi-Fi 1EA	
Kompatibilní tiskárna	Kompatibilní tiskárny pro přístroj InBody970 jsou k dispozici na adrese www.inbodyservice.com	
Rozměry	614,1 (Š) x 963,8 (D) x 1 293,3 (V): mm	
Hmotnost zařízení	46 kg (101,4 lb)	
Doba trvání testu	Přibližně 90 sekund	
Provozní prostředí	10-40 °C (50-104°F), RH 30-75 %, 70-106 kPa	
Prostředí pro skladování	-10-70 °C (14-158°F), RH 10-80 %, 50-106 kPa (bez kondenzace)	
Rozsah hmotnosti	5-300 kg (11-660,1 lb)	
Věkové rozmezí	3-99 let	
Výškový rozsah	95-220 cm (3 stopy 1,40 palce - 7 stop 2,61 palce)	

Přehled výsledků složení těla	Parametry výsledku a jeho interpretace • Analýza složení těla (celková tělesná voda, bílkoviny, minerály, hmota tělesného tuku, hmotnost) • Analýza svalů a tuku (hmotnost, hmota kosterního svalstva, hmota tělesného tuku) • Analýza obezity (index tělesné hmotnosti, podíl tělesného tuku v procentech) • Segmentová analýza štíhlosti • Segmentová analýza tuku • Segmentová analýza ICW • Segmentová analýza ECW • Analýza poměru ECW (poměr ECW) • Segmentový poměr ECW • Historie složení těla (hmotnost, hmota kosterního svalstva, podíl tělesného tuku v procentech, poměr ECW) • Hodnocení pomocí přístroje InBody • Plocha vnitřního tuku (graf) • Kontrola hmotnosti (cílová hmotnost, kontrola hmotnosti, kontrola tuku, kontrola svalů) • Typ těla (graf) • Hodnocení výživy (bílkoviny, minerální látky, tuková hmota)	• Hodnocení obezity (BMI, podíl tělesného tuku v procentech) • Vyhodnocení rovnováhy těla (horní, dolní, horní-dolní) • Poměr pasu a boků (graf) • Hladina vnitřního tuku (graf) • Výzkumné parametry (extracelulární voda, intracelulární voda, hmota kosterního svalstva, hmota bez tuku, bazální metabolická rychlost, poměr pasu a boků, hladina vnitřního tuku, plocha vnitřního tuku, stupeň obezity, obsah kostních minerálů, hmota tělesných buněk, obvod pasu, obvod svalů paže, FMI, FFM, SMI, doporučený kalorický příjem, kalorický výdej při cvičení, hodnocení pomocí přístroje InBody) • Krevní tlak (max./min./tepová frekvence, průměrný/pulzní tlak/R.P.P) • QR kód interpretace výsledků • QR kód • Fázový úhel segmentů těla (5 kHz, 50 kHz, 250 kHz: pravá paže, levá paže, trup, pravá noha, levá noha) • Fázový úhel celého těla (50 kHz) • Graf impedance (jednotlivé segmenty a jednotlivé frekvence)
Přehled výsledků složení těla pro děti	Parametry výsledku a jeho interpretace • Analýza složení těla (celková tělesná voda, bílkoviny, minerály, hmota tělesného tuku, hmotnost) • Analýza svalů a tuku (hmotnost, hmota kosterního svalstva, hmota tělesného tuku) • Analýza obezity (index tělesné hmotnosti, podíl tělesného tuku v procentech) • Růstový graf (výška, hmotnost, BMI) • Hodnocení růstu • Historie složení těla (výška, hmotnost, hmota kosterního svalstva, poměr tělesného tuku v procentech) • Hodnocení výživy (bílkoviny, minerální látky, tuková hmota) • Hodnocení obezity (BMI, podíl tělesného tuku v procentech) • Rovnováha těla (horní, dolní, horní-dolní) • Segmentová analýza štíhlosti (pravá paže, levá paže, trup, pravá noha, levá noha)	• Segmentová analýza tělesné vody (pravá paže, levá paže, trup, pravá noha, levá noha) • Výzkumné parametry (intracelulární voda, extracelulární voda, bazální metabolická rychlost, stupeň dětské obezity, obsah kostních minerálů, hmota tělesných buněk, FFM, FMI) • Krevní tlak (max./min./tepová frekvence, průměrný/pulzní tlak/R.P.P) • QR kód interpretace výsledků • QR kód • Fázový úhel segmentů těla (5 kHz, 50 kHz, 250 kHz: pravá paže, levá paže, trup, pravá noha, levá noha) • Fázový úhel celého těla (50 kHz) • Graf impedance (jednotlivé segmenty a jednotlivé frekvence)
Tělesná voda Přehled výsledků	Parametry výsledku a jeho interpretace • Složení tělesné vody (celková tělesná voda, intracelulární voda, extracelulární voda) • Analýza poměru ECW (poměr ECW) • Segmentová analýza tělesné vody (pravá paže, levá paže, trup, pravá noha, levá noha) • Analýza složení těla (bílkoviny, minerály, hmota tělesného tuku, hmota bez tuku, obsah kostních minerálů) • Segmentová analýza ECW (pravá paže, levá paže, trup, pravá noha, levá noha) • Historie složení tělesné vody (hmotnost, celková tělesná hmotnost, intracelulární voda, extracelulární voda, poměr extracelulární vody) • Analýza svalů a tuku (hmotnost, hmota kosterního svalstva, měkká štíhlá hmota, hmota tělesného tuku)	• Hodnocení obezity (BMI, podíl tělesného tuku v procentech) • Výzkumné parametry (hmota bez tuku, bazální metabolická rychlost, poměr pasu a boků, plocha vnitřního tuku, stupeň obezity, hmota tělesných buněk, obvod pasu, obvod svalů paže, TBW/FFM, FMI, FFM, SMI) • Krevní tlak (max./min./tepová frekvence, průměrný/pulzní tlak/R.P.P) • QR kód interpretace výsledků • QR kód • Fázový úhel segmentů těla (5 kHz, 50 kHz, 250 kHz: pravá paže, levá paže, trup, pravá noha, levá noha) • Fázový úhel celého těla (50 kHz) • Graf impedance (jednotlivé segmenty a jednotlivé frekvence)
Hodnocení Přehled výsledků	• Poměr ECW celého těla (ECW/TBW): (hodnocení T, hodnocení Z) • Plocha vnitřního tuku (VFA, cm²): (hodnocení T, hodnocení Z) • Index tělesné hmotnosti (BMI, kg/m²): (hodnocení T, hodnocení Z) • Vektorová analýza bioelektrické impedance (BIVA) • Fázový úhel celého těla_50 kHz (PhA, °): (hodnocení T, hodnocení Z) • Vyházení poměru ECW (ECW/TBW) (pravá paže, levá paže, trup, pravá noha, levá noha): Hodnocení • Poměr tělesného tuku v procentech (PBF, %): (hodnocení T, hodnocení Z) • Index kosterní svalové hmoty (SMI, m²): (hodnocení T, hodnocení Z) • Index tukové hmoty (FMI, kg/m²): (hodnocení T, hodnocení Z) • Index hmoty bez tuku (FFMI, kg/m²): (hodnocení T, hodnocení Z) • Vyházení štíhlé hmoty (LM) (pravá paže, levá paže, trup, pravá noha, levá noha): množství, hodnocení	• Kosterní svalová hmota a poměr ECW (SMM,% & ECW/TBW) • Index kosterní svalové hmoty a poměr ECW (SMI, kg/m² & ECW/TBW) • Poměr pasu a boků (WHR): (hodnocení T, hodnocení Z) • Hmota tělesných buněk (BCM, kg): (hodnocení T, hodnocení Z) • Vnější obvod (cm) • Hmotnost (kg): (hodnocení T, hodnocení Z) • Kosterní svalová hmota/WT • Extracelulární hmota/hmota tělesných buněk (ECM/BCM): (hodnocení T, hodnocení Z) • Celková tělesná voda/hmotnost (%): (hodnocení T, hodnocení Z)
Porovnání Přehled výsledků	• Hmotnost, hmota kosterního svalstva, hmota tělesného tuku, poměr ECW, fázový úhel: celé tělo (aktuální výsledek, předchozí výsledek, rozdíl aktuálního a předchozího výsledku) • Štíhlá hmota, poměr ECW, fázový úhel: pravá paže, levá paže, trup, pravá noha, levá noha (aktuální výsledek, předchozí výsledek, rozdíl aktuálního a předchozího výsledku) • Cole-Coleův graf (dnešní, nedávny, standardní křivka mediánu)	
Výzkum Přehled výsledků	• Přehled složení těla (hmota bez tuku, hmota tělesného tuku, intracelulární voda, extracelulární voda, tělesná voda, poměr ECW, hmotnost) • Analýza složení těla (štíhlá hmota, ICW, ECW, tuková hmota, ECW/TBW): celé tělo, pravá paže, levá paže, trup, pravá noha, levá noha • Výzkumné parametry (BMI, poměr tělesného tuku v procentech, podíl břišního tuku v procentech, plocha vnitřního tuku, stupeň obezity, obvod pasu, FMI, hmota kosterního svalstva, FFM, SMI, bílkoviny, hmota tělesných buněk, minerály, obsah kostních minerálů, bazální metabolická rychlost, obvod pasu, obvod svalů paže, TBW/FFM) • Fázový úhel segmentů těla (5 kHz, 50 kHz, 250 kHz: pravá paže, levá paže, trup, pravá noha, levá noha) • Fázový úhel celého těla (50 kHz) • Graf impedance (jednotlivé segmenty a jednotlivé frekvence)	
Vnitřní tuk Přehled výsledků	• Složení tělesného tuku (podkožní tuk, vnitřní tuk, hmota břišního tuku, tuk paží/nohou, hmota bez tuku, hmota tuku trupu, hmota tělesného tuku, hmotnost) • Analýza tělesného tuku (hmotnost, hmota tělesného tuku, BMI, podíl tělesného tuku v procentech) • Analýza břišního tuku (hmota břišního tuku, hmota podkožního tuku, hmota vnitřního tuku) • Analýza břišního tuku (poměr pasu a boků, poměr vnitřního a podkožního tuku) • Poměr plochy vnitřního a podkožního tuku	• Plocha podkožního tuku • Plocha vnitřního tuku • Změna tělesného tuku (hmotnost, hmota tělesného tuku, hmota břišního tuku, hmota podkožního tuku, hmota vnitřního tuku) • Výzkumné parametry (obvod pasu, stupeň obezity, poměr pasu/výšky, index tělesné tučnosti, ABSI, index kuželovitosti, bazální metabolická rychlost, poměr ECW, SMI, FMI, štíhlá hmota/plocha vnitřního tuku) • Graf impedance (jednotlivé segmenty a jednotlivé frekvence)

ANALYZÁTOR ABDOMINÁLNÍHO TUKU Yscope

Yscope

Nabíjecí stojan



Analýza bioelektrické impedance (BIA)	Bioelektrická impedance (Z)	Měření impedance trupu při 50 kHz, 250 kHz
Metoda měření pomocí elektrod	Bipolární 4bodové dotykové elektrody	
Metoda měření	Přímá segmentová multifrekvenční analýza bioelektrické impedance (DSM-BIA) Simultánní multifrekvenční analýza bioelektrické impedance (SMF-BIA)	
Metoda výpočtu složení těla	Žádný empirický odhad (věk a pohlaví nemají na výsledek vliv)	
Výsledky měření	Plocha vnitřního tuku, plocha podkožního tuku	
Používaný jmenovitý proud	350 uA	
Jmenovitý výkon	3,63 V DC, 2 600 mA (lithium-iontová baterie)	
Nabíjecí napětí	5,0 V DC	
Displej	OLED	
Barva	Bílá	
Rozměry	Přístroj Yscope (126,7 (Š) x 63,5 (D) x 269,3 (V): mm) Nabíjecí stojan (260 (Š) x 260 (D) x 790 (V): mm)	
Hmotnost zařízení	Yscope 0,3 kg (0,7 lb), nabíjecí stojan 2,5 kg (5,5 lb)	
Doba trvání testu	Přibližně 5 sekund	
Provozní prostředí	10-40 °C (50-104°F), RH 30-75 %, 70-106 kPa	
Prostředí pro skladování	-10-70 °C (14-158°F), RH 10-80 %, 50-106 kPa (bez kondenzace)	
Věkové rozmezí	3-99 let	

* Specifikace podléhají změnám bez předchozího upozornění.

* QR kód je registrovaná ochranná známka společnosti DENSO WAVE INCORPORATED

InBody

See what you're made of

Síla systému InBody

Společnost InBody si udržuje vysoké postavení své značky pomocí technologie na nejvyšší úrovni.



Certifikace získané společností InBody

Společnost InBody splňuje systém řízení kvality podle mezinárodních norem. Splňujeme požadavky předpisů specifické pro danou zemi, které se vztahují na bezpečnost a účinnost výrobků, a poskytujeme související služby.



Práva na duševní vlastnictví společnosti InBody

Společnost InBody vlastní patenty a práva na duševní vlastnictví po celém světě a poskytuje výrobky s vysokou přesností a reprodukovatelností založené na této technologii.



InBody HQ [KOREA]

InBody Co., Ltd.
625, InBody Bldg., Eonju-ro,
Gangnam-gu, Seoul 06106
Korejská republika
TEL.: +82-2-501-3939 FAX: +82-2-578-5669
Webové stránky: <https://inbody.com>
E-mail: info@inbody.com

InBody USA [USA]

Biospace Inc. dba InBody
13850 Cerritos Corporate Dr. Unit C Cerritos,
CA 90703
USA
TEL.: +1-323-932-6503 FAX: +1-323-952-5009
Webové stránky: <https://inbodyusa.com>
E-mail: info.us@inbody.com

InBody Japan [JAPONSKO]

InBody Japan Inc.
Tani Bldg., 1-28-6, Kameido, Koto-ku,
Tokyo 136-0071
Japonsko
TEL.: +81-3-5875-5780 FAX: +81-3-5875-5781
Webové stránky: <https://www.inbody.co.jp>
E-mail: inbody@inbody.co.jp

InBody China [ČÍNA]

Biospace China Co., Ltd.
904, XingDiPlaza, No.1698 YiShanRoad,
Šanghaj 201103
Čína
TEL.: +86-21-6443-9705 FAX: +86-21-6443-9706
Webové stránky: <https://inbodychina.com>
E-mail: info@inbodychina.com

InBody Asia [ASIE]

InBody Asia Sdn. Bhd.
Unit 3A-11, Oval Damansara, 685 Jalan Da-
mansara Kuala Lumpur, WP KL 60000
Malajsie
TEL.: +60-3-7732-0790 FAX: +60-3-7733-0790
Webové stránky: <https://inbodyasia.com>
E-mail: info@inbodyasia.com

InBody Europe [EU]

InBody Europe B.V.
Gyroscoopweg 122, 1042 AZ,
Amsterdam,
Nizozemsko
TEL.: +31-20-238-6080 FAX: +31-6-5734-1858
Webové stránky: <https://nl.inbody.com>
E-mail: info.eu@inbody.com

InBody India [INDIE]

InBody India Pvt.Ltd.
Unit No. G-B 10, Ground Floor, Art Guild House, Phoenix
Market City, L.B.S. Marg, Kurla (West), Mumbai 400070
Indie
TEL.: +91-22-6223-1911
Webové stránky: <http://inbody.in>
E-mail: india@inbody.com